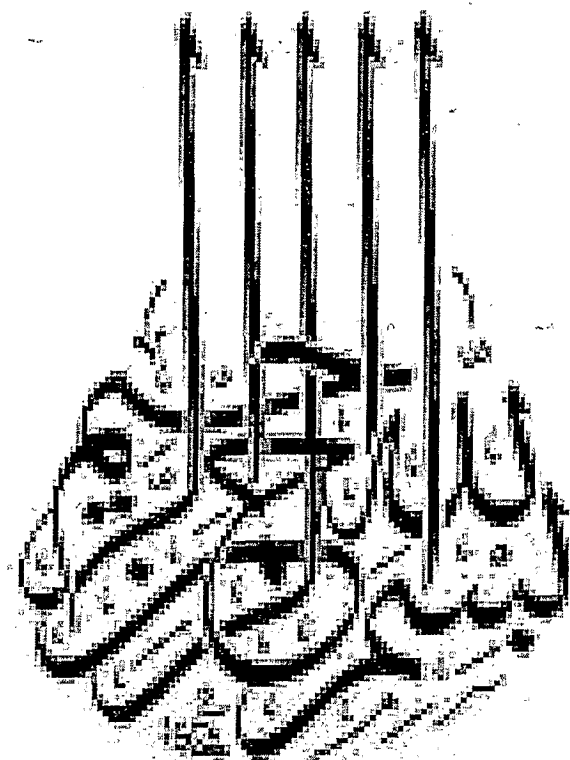


~~72-11161080~~
~~7516-18~~



10X III



دانشکده مهندسی

پایان نامه کارشناسی ارشد در رشته مهندسی برق - مخابرات (میدان)

مدل سازی و آنالیز محیط‌های دستگردان (Chiral) در حوزه زمان

توسط: راحله بصیری

استاد راهنما:

دکتر حبیب الله عبیری

۱۳۸۷/۱۰/۱۳

شهریور ۸۷

۱۳۱۱۵

به نام خدا

مدل سازی و آنالیز محیط‌های دستگردان (Chiral) در حوزه زمان

به وسیله‌ی:

راحله بصیری

پایان‌نامه

ارائه شده به تحصیلات تکمیلی دانشگاه به عنوان بخشی
از فعالیت‌های تحصیلی لازم برای اخذ درجه کارشناسی ارشد

در رشته‌ی:

مهندسی پرتو-مخابرات

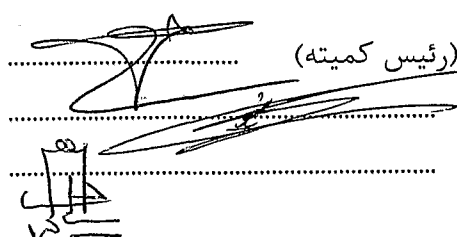
از دانشگاه شیراز

شیراز

جمهوری اسلامی ایران

ارزیابی شده توسط کمیته پایان‌نامه با درجه: عالی

امضاء اعضای کمیته پایان‌نامه:



دکتر حبیب الله عبیری، دانشیار بخش برق والکترونیک (رئيس کمیته)

دکتر رحیم غیور، دانشیار بخش برق والکترونیک

دکتر فرزاد مهاجری، استادیار بخش برق والکترونیک

شهریور ۱۳۸۷

تقدیم به:

پدر، مادر، همسر

و

خانواده عزیزم

که همواره یار و یاورم بودند.

سپاسگزاری

شعار و شعر و هستی بخش هر انسان، شقایق های کوهستان و هر آلاه بستان، خداوند توانایی است که نامش زیب این گفتار امروز است.

خدای مهربان را سپاس می گوییم که باز هم مرا در مرحله دیگری از زندگی یاری نمود.

بر خود لازم می دانم که از استاد راهنمای محترم خود، جناب آقای دکتر حبیب الله عبیری به پاس زحمات بی شائبه و راهنمایی های ارزشمند شان، و نیز اساتید مشاور گرانقدرم آقایان دکتر رحیم غیور و دکتر فرزاد مهاجری که فروتنانیه عضویت در کمیته پایان نامه اینجانب را پذیرفتند و مرا دلسوزانه یاری نمودند، تشکر نمایم.
از جناب آقای یاحقی دانشجوی محترم دکترای بخش برق، که با علاقه تمام اینجانب را در انجام پایان نامه راهنمایی و کمک نمودند، کمال تشکر را دارم.

از پدر بزرگوار، مادر مهربان و همسر فداکارم کمال تشکر را دارم که همواره پشتیبان من بودند و برای همگی ایشان موفقیت و سلامت را از خدای بزرگ خواستارم.

چکیده

مدل‌سازی و آنالیز محیط‌های دستگردان (chiral) در حوزه زمان

توسط:

راحله بصیری

محیط BI ویژگی‌های جالبی دارد که به عنوان مثال می‌توان به عمود نبودن بردارهای میدان الکتریکی و مغناطیسی، وابستگی سرعت فاز آنها به تارامترهای دستگردانی و تلگان، پدیده چرخش نوری و چرخش صفحه پلاریزاسیون، اعوجاج دایروی ناشی از متفاوت بودن ضرائب جذب برای امواج با پلاریزاسیون چپگرد و راستگرد و تغییر ماهیت پلاریزاسیون میدان در این محیط‌ها اشاره نمود. مهمترین ویژگی این محیط‌ها کوپلینگ متقابل میان بردارهای میدان الکتریکی و مغناطیسی در روابط تکمیلی آنها است که منجر به پیچیدگی روابط در این محیط‌ها شده است. این ویژگی‌ها زمینه کاربردهای جدیدی را فراهم می‌کند. به دلیل وجود این پیچیدگی‌ها، برای آنالیز این محیط‌ها بایستی به دنبال روش عددی مناسبی باشیم.

روش TLM، یک روش مناسب برای مدل کردن انتشار موج در محیط‌های BI است. لازم به ذکر است به دلایل ذکرشده، در این محیط‌ها، امکان استفاده از فرمول‌های TLM کلاسیک وجود ندارد و بنابراین مدل‌های مناسبی را بایستی به کار برد.

در این پایان‌نامه روش TLM دو بعدی و الگوریتم پیاده‌سازی آن در محیط‌های BI با جزئیات کامل ذکر شده است. این الگوریتم قابل استفاده برای کلیه ساختارهای دو بعدی می‌باشد. در نهایت با این روش پاسخ فرکانسی یک موجبر صفحه‌ای و ویژگی‌های کوپلینگ یک کوپلر جهتی در محیط‌های ایزوتروپیک و BI محاسبه و مقایسه شده است.

فهرست مطالب

| | عنوان | | صفحة |
|----|--|--|------|
| | فصل اول | | |
| ۱ | ۱-۱ مقدمه | | |
| ۲ | ۲-۱ کلیات | | |
| ۳ | ۳ فصل دوم | | |
| ۴ | ۴ معرفی روش های عددی در الکترومغناطیس | | |
| ۵ | ۵-۱ مقدمه | | |
| ۶ | ۶-۲ روش تفاضل محدود (Finite Difference Method) | | |
| ۷ | ۷-۲ روش المان محدود (Finite Element Method) | | |
| ۸ | ۸-۲ روش معادله انتگرال | | |
| ۹ | ۹-۲ روش Galerkin و روش Moment | | |
| ۱۰ | ۱۰-۲ روش Mode Matching | | |
| ۱۱ | ۱۱-۲ روش Spectral Domain | | |
| ۱۲ | ۱۲-۲ روش TLM (Transmission Line Matrix method) | | |
| ۱۳ | ۱۳ فصل سوم | | |
| ۱۴ | ۱۴ معرفی محیط های chiral و BI | | |
| ۱۵ | ۱۵-۱ مقدمه | | |
| ۱۶ | ۱۶-۲ مطالعات اولیه بر روی BI و chiral | | |
| ۱۷ | ۱۷-۳ فعالیت نوری (Optical Activity) | | |
| ۱۸ | ۱۸-۳ مشخصه و فرمول بندی یک میکرو BI | | |
| ۱۹ | ۱۹-۳ روابط اساسی (constitutive Relations) | | |
| ۲۰ | ۲۰ فصل چهارم | | |
| ۲۱ | ۲۱-۴ روش TLM دو بعدی (2D-TLM) | | |
| ۲۲ | ۲۲-۴ پاسخ گذرای یک خط (Transient response of a line) | | |
| ۲۳ | ۲۳-۴ پاسخ حالت دائم سینوسی یک خط | | |
| ۲۴ | | | |
| ۲۵ | | | |

| | |
|--|----|
| ۴-۴ مدل های مجزا برای عناصر فشرده ۲۷ | ۲۷ |
| ۱-۴-۴ مدل ارتباطی (Link) و شاخه ای (Stub) برای خازن ۲۷ | ۲۷ |
| ۲-۴-۴ مدل ارتباطی و شاخه برای آندوکتانس ۳۱ | ۳۱ |
| ۵-۴ مدل TEM یک بعدی ۳۳ | ۳۳ |
| ۱-۵-۴ مدل TLM برای مسائل الکترومغناطیسی یک بعدی ۳۸ | ۳۸ |
| ۲-۵-۴ مطالعه اثرات پراکندگی در روش TLM یک بعدی ۴۰ | ۴۰ |
| ۶-۴ مدل TLM دو بعدی ۴۲ | ۴۲ |
| ۱-۶-۴ ۱- گره سری TLM (The series TLM Node) ۴۳ | ۴۳ |
| ۲-۶-۴ بررسی فرآیند پراکندگی (scattering) و محاسبات مربوط در یک گره سری ۴۸ | ۴۸ |
| ۳-۶-۴ ۳- مدلسازی مرزها و مواد تلفدار ناهمگن ۵۱ | ۵۱ |
| ۱-۳-۶-۴ ۱- مدلسازی محیط ناهمگن ۵۱ | ۵۱ |
| ۲-۳-۶-۴ ۲- گره سری با تلفات ۵۳ | ۵۳ |
| ۳-۳-۶-۴ ۳- انتخاب پارامترهای مدل ۵۴ | ۵۴ |
| ۳-۳-۶-۴ ۳- مدل سازی مرزها ۵۴ | ۵۴ |
| ۴-۶-۴ ۴- گره موازی TLM (The shunt TLM node) ۵۶ | ۵۶ |
| ۵-۶-۴ ۵- بررسی فرآیند پراکندگی و محاسبات مورد نیاز در یک گره موازی ۵۸ | ۵۸ |
| ۶-۶-۴ ۶- مدل کردن مواد تلفدار و غیر همگن در گره موازی ۵۹ | ۵۹ |
| ۷-۶-۴ ۷- انتخاب پارامترهای یک گره موازی ۶۱ | ۶۱ |
| فصل پنجم ۶۳ | ۶۳ |
| ۱-۵ مقدمه ۶۴ | ۶۴ |
| ۲-۵ روابط تکمیلی در محیط های BI و chiral ۶۶ | ۶۶ |
| ۳-۵ اثبات روابط جدول (۱) ۶۷ | ۶۷ |
| ۴-۵ اثبات روابط جدول (۲-۵) ۷۱ | ۷۱ |
| ۵-۵ ۵- مدل TLM و پیاده سازی آن در محیط های BI و chiral ۷۶ | ۷۶ |
| ۶-۵ ۶- مشخصه های شبکه TLM ۷۸ | ۷۸ |
| فصل ششم ۸۳ | ۸۳ |
| ۶-۱ مقدمه ۸۴ | ۸۴ |
| ۲-۶ تحریک یک ضربه ۸۵ | ۸۵ |
| ۳-۶ تحریک سینوسی ۹۱ | ۹۱ |
| ۴-۶ ۴- بررسی خواص انتشاری موج در موجبر مستطیلی در حضور مواد BI ۹۴ | ۹۴ |

| | |
|---|---|
| ۵-۶ بررسی خواص انتشاری موج در موجبر دی الکتریک در حضور مواد BI ۹۹ | ۶-۶ مرزهای جاذب ۱۰۶ |
| ۶-۶ معرفی گره های هیبرید ۱۰۷ | ۶-۶ پیاده سازی PML در TLM ۱۱۳ |
| ۶-۶ نتیجه گیری و پیشنهادات ۱۱۹ | ۷-۶ فصل هفتم ۱۲۰ |
| ۷-۶ پیوست ۱۲۰ | ۷-۶-۱ تئوری ۱۱۴ |
| ۷-۶-۲ نتیجه گیری ۱۲۱ | ۷-۶-۲-۱ پیاده سازی گره TLM سه بعدی ۱۲۱ |
| ۷-۶-۲-۲ گره فشرده متقارن (Symmetrical Condensed Node) ۱۲۳ | ۷-۶-۲-۲-۱ خصوصیات انتشار در یک مش SCN منظم ۱۲۸ |
| ۷-۶-۲-۲-۲ محاسبات مربوط به مش در یک گره SCN ۱۳۰ | ۷-۶-۲-۲-۲ محاسبه میدان های مغناطیسی و الکتریکی ۱۳۱ |
| ۷-۶-۲-۲-۳ خروجی یک مش SCN ۱۳۱ | ۷-۶-۲-۲-۳-۱ محاسبه جریان الکتریکی ۱۳۳ |
| ۷-۶-۲-۲-۳-۲ محاسبه بار الکتریکی ۱۳۶ | ۷-۶-۲-۲-۳-۲-۱ تحریک یک مش SCN ۱۳۶ |
| ۷-۶-۲-۲-۳-۳ گره SCN با مش متغیر ۱۳۷ | ۷-۶-۲-۲-۳-۳-۱ گره SCN با شاخه های سلفی و خازنی ۱۳۸ |
| ۷-۶-۲-۲-۳-۴ پراکندگی در یک گره SCN متصل به شاخه ۱۴۰ | ۷-۶-۲-۲-۳-۴-۱ گره SCN با شاخه های الکترو مغناطیسی در یک گره SCN استاندارد ۱۴۲ |
| ۷-۶-۲-۲-۳-۵ تحریک SCN متصل به شاخه ۱۴۳ | ۷-۶-۲-۲-۳-۵-۱ تحریک SCN به همراه شاخه های خازنی، سلفی و تلفاتی ۱۴۴ |

فهرست شکل‌ها

عنوان

صفحه

| | |
|---|----|
| شکل (۱-۲) : یک مش نوعی برای روش FD دو بعدی [۱]. | ۶ |
| شکل (۲-۲) : یک مش بندی نوعی در روش Finite Element [۲] | ۷ |
| شکل (۳-۲) : رزوناتور میکرواستریپ [۲]. | ۹ |
| شکل (۴-۲) : سطح مقطع یک خط میکرواستریپ shield دار با ضخامت استریپ محدود. | ۱۱ |
| شکل (۵-۲) : رزوناتور میکرواستریپ. | ۱۲ |
| شکل (۱-۴) : یک خط انتقال بدون تلف [۱۷]. | ۲۱ |
| شکل (۲-۴) : اتصال ناگهانی منبع [۱۷]. | ۲۲ |
| شکل (۳-۴) : پالس های ولتاژ و جریان در طول یک خط انتقال [۱۷]. | ۲۳ |
| شکل (۴-۴) : خط انتقال و مدار معادل آن [۱۷]. | ۲۴ |
| شکل (۵-۴) : مدار معادل یک خط انتقال بدون تلف [۱۷]. | ۲۵ |
| شکل (۶-۴) : مدل ارتباطی برای یک خازن [۱۷]. | ۲۸ |
| شکل (۷-۴) : مدل شاخه برای یک خازن [۱۷]. | ۲۹ |
| شکل (۸-۴) : (الف) یک مدار RC، (ب) مدار معادل TLM آن، (ج) مدار معادل تونن، (د) شرایط در شاخه [۱۷]. | ۳۰ |
| شکل (۹-۴) : مدل ارتباطی برای یک سلف [۱۷]. | ۳۱ |
| شکل (۱۰-۴) : مدل شاخه برای یک سلف [۱۷]. | ۳۲ |
| شکل (۱۱-۴) : (الف) یک مدار LR، (ب) معادل TLM آن، (ج) معادل تونن آن [۱۷]. | ۳۳ |
| شکل (۱۲-۴) : یک خط انتقال تلف دار [۱۷]. | ۳۳ |
| شکل (۱۳-۴) : (الف) یک خط انتقال پایه، (ب) مدل TLM آن، (ج) یک خط شامل ده قسمت مشابه قسمت (ب) [۱۷]. | ۳۴ |
| شکل (۱۴-۴) : (الف) یک شبکه خط انتقال، (ب و ج) معادل تونن آن [۱۷]. | ۳۵ |
| شکل (۱۵-۴) : (الف) شرایط در بار، (ب) مدل TLM آن، (ج) معادل تونن آن [۱۷]. | ۳۷ |
| شکل (۱۶-۴) : نمایش یک خازن اضافی [۱۷]. | ۳۸ |
| شکل (۱۷-۴) : یک شبکه برای مطالعه اثر پراکندگی [۱۷]. | ۴۰ |
| شکل (۱۸-۴) : شرایط در قسمت میانی شکل (۱۷-۴) [۱۷]. | ۴۱ |

| | |
|---|----|
| شکل (۱۹-۴): الف) شمایی از یک مش TLM، ب) تحریک ضربه، ج) اولین مرحله [۱۷]scattering | ۴۲ |
| شکل (۲۰-۴): فرآیند Scattering در گره TLM [۱۷] | ۴۳ |
| شکل (۲۱-۴): فضای توصیف شده توسط یک گره سری [۱۷] | ۴۴ |
| شکل (۲۲-۴): شرایط در گروهی از گره‌های سری [۱۷] | ۴۵ |
| شکل (۲۳-۴): بررسی شرایط در گره مرتبط با جریان I_A [۱۷] | ۴۶ |
| شکل (۲۴-۴): نمایش یک گره سری [۱۷] | ۴۸ |
| شکل (۲۵-۴): مدار معادل تونن یک گره سری [۱۷] | ۴۹ |
| شکل (۲۶-۴): فرآیند connection در شبکه‌ای از گره‌های متصل به هم [۱۷] | ۵۰ |
| شکل (۲۷-۴): اضافه نمودن یک شاخه اتصال کوتاه برای مدل کردن μ [۱۷] | ۵۲ |
| شکل (۲۸-۴): گره سری با در نظر گرفتن تلفات و $\mu = \mu_0 \mu$ [۱۷] | ۵۳ |
| شکل (۲۹-۴): مرز هادی و محل آن در گره [۱۷] | ۵۵ |
| شکل (۳۰-۴): مرز مدار باز در یک گره سری [۱۷] | ۵۵ |
| شکل (۳۱-۴): نمایش یک گره موازی و فضای توصیف شده توسط آن [۱۷] | ۵۶ |
| شکل (۳۲-۴): مدل مداری برای انتشار در جهت x [۱۷] | ۵۷ |
| شکل (۳۳-۴): مدار معامل تونن برای یک گره موازی [۱۷] | ۵۸ |
| شکل (۳۴-۴): محاسبه جریان در جهت x [۱۷] | ۵۹ |
| شکل (۳۵-۴): یک گره موازی با در نظر گرفتن شاخه مدار باز و شاخه تطبیق [۱۷] | ۶۰ |
| شکل (۱-۶): یک موجبر صفحه‌ای | ۸۴ |
| شکل (۲-۶): ترتیب شماره گذاری درگاه‌های یک گره TLM [۲۶] | ۸۶ |
| شکل (۳-۶): پاسخ فرکانسی یک موجبر صفحه‌ای | ۸۸ |
| شکل (۴-۶): پاسخ فرکانسی موجبر در حضور ماده BI با پارامترهای $\kappa = -0.0214 psec$ و $\chi = 1.15$ | ۸۸ |
| شکل (۵-۶): پاسخ فرکانسی موجبر در حضور ماده BI با پارامترهای $\kappa = -0.0428 psec$ و $\chi = 1.15$ | ۸۹ |
| شکل (۶-۶): پاسخ فرکانسی موجبر در حضور ماده BI با پارامترهای $\kappa = -0.0214 psec$ و $\chi = 1.25$ | ۸۹ |
| شکل (۷-۶): پاسخ فرکانسی موجبر در حضور ماده BI با پارامترهای $\kappa = -0.0321 psec$ و $\chi = 1.25$ | ۹۰ |
| شکل (۸-۶): پاسخ فرکانسی موجبر در حضور ماده BI با پارامترهای $\kappa = -0.0214 psec$ و $\chi = 1.3$ | ۹۰ |
| شکل (۹-۶): پاسخ فرکانسی موجبر در حضور ماده BI با پارامترهای $\kappa = -0.0214 psec$ و $\chi = 1.4$ | ۹۱ |
| شکل (۱۰-۶): تغییرات میدان‌های مغناطیسی در سطح مقطع موجبر صفحه‌ای | ۹۳ |
| شکل (۱۱-۶): تغییرات میدان‌های الکتریکی در سطح مقطع موجبر صفحه‌ای | ۹۴ |

| | |
|---|-----|
| شکل (۱۲-۶) : سطح مقطع یک موجبر مستطیلی با دیواره های هادی. | ۹۵ |
| شکل (۱۳-۶) : پاسخ فرکانسی موجبر مستطیلی در حضور ماده ایزوتروپیک. | ۹۶ |
| شکل (۱۴-۶) : پاسخ فرکانسی موجبر مستطیلی در حضور ماده BI با پارامترهای $\chi = 1.4, \kappa = -0.1495 psec$ | ۹۷ |
| شکل (۱۵-۶) : پاسخ فرکانسی موجبر مستطیلی در حضور ماده BI با پارامترهای $\chi = 1.8, \kappa = -0.0689 psec$ | ۹۷ |
| شکل (۱۶-۶) : یک موجبر مستطیلی قسمتی پر. | ۹۸ |
| شکل (۱۷-۶) : یک موجبر دیالکتریک. | ۹۹ |
| شکل (۱۸-۶) : پاسخ فرکانسی موجبر دیالکتریک. | ۱۰۱ |
| شکل (۱۹-۶) : تغییرات میدان الکتریکی E_z در سطح مقطع موجبر دیالکتریک. | ۱۰۲ |
| شکل (۲۰-۶) : تغییرات میدان های مغناطیسی H_x و H_y در سطح مقطع موجبر دیالکتریک. | ۱۰۲ |
| شکل (۲۱-۶) : ساختار یک کوپلر جهت دار. | ۱۰۳ |
| شکل (۲۲-۶) : تغییرات توان متوسط در طول موجبر بالایی و پایینی، $\chi = 0, \kappa = 0$. | ۱۰۴ |
| شکل (۲۳-۶) : تغییرات توان متوسط در طول موجبر بالایی و پایینی، $\chi = 1.15, \kappa = -0.0353 psec$. | ۱۰۴ |
| شکل (۲۴-۶) : تغییرات توان متوسط در طول موجبر بالایی و پایینی، $\chi = 1.25, \kappa = -0.0353 psec$. | ۱۰۵ |
| شکل (۲۵-۶) : تغییرات توان متوسط در طول موجبر بالایی و پایینی، $\chi = 1.3, \kappa = -0.0353 psec$. | ۱۰۵ |
| شکل (۲۶-۶) : تعریف میدان ها در یک سلول TLM برای مد TM ₁₀₈ [۳۱]. | ۱۰۸ |
| شکل (۲۷-۶) : مسیر درنظر گرفته شده برای تقریب رابطه (۱۷-۶) [۳۱]. | ۱۰۸ |
| شکل (۲۸-۶) : مسیر درنظر گرفته شده برای محاسبه $H_x^{(k)}$ و $H_y^{(k)}$ [۳۱]. | ۱۱۰ |
| شکل (۲۹-۶) : محاسبه $E_z^{(k)}$ در صفحه YOZ [۳۱]. | ۱۱۱ |
| شکل (۳۰-۶) : ناحیه PML در کنار ناحیه محاسباتی [۳۲]. | ۱۱۵ |
| شکل (۳۱-۶) : سلول کلی برای TLM دو بعدی در ناحیه PML برای مد TM ₁₁₆ [۳۲]. | ۱۱۶ |
| شکل (۳۲-۶) : فرکانس قطع موجبر صفحه ای که دو طرف آن PML قرار داده شده است. | ۱۱۸ |
| شکل (۳۳-۶) : فرکانس قطع موجبر صفحه ای که دو طرف آن reflection Coefficient تعریف شده است. | ۱۱۸ |
| شکل (۱-۷) : اتصال دو گره سری با یک گره موازی [۱۷]. | ۱۲۱ |
| شکل (۲-۷) : مدل یک گره گستردگی [۱۷]. | ۱۲۲ |
| شکل (۳-۷) : مدل یک گره فشرده متقارن [۱۷]. | ۱۲۳ |
| شکل (۴-۷) : سه ساختار تشکیل دهنده گره SCN [۱۷]. | ۱۲۴ |

| | |
|--|-----|
| شکل (۷-۵): نحوه کوپلینگ میان درگاه‌های یک گره ۳ بعدی [۱۷]. | ۱۲۵ |
| شکل (۶-۷): شبکه‌ای از گره‌های SCN متصل به هم [۱۷]. | ۱۲۹ |
| شکل (۷-۷): محاسبه جریان I_x [۱۷]. | ۱۳۲ |
| شکل (۸-۷): محاسبه جریان روی بدن هادی [۱۷]. | ۱۳۳ |
| شکل (۹-۷): مدار معادل جهت محاسبه جریان الکتریکی [۱۷]. | ۱۳۴ |
| شکل (۱۰-۷): گره اتصال کوتاه [۱۷]. | ۱۳۴ |
| شکل (۱۱-۷): مدار معادل محاسبه جریان در یک گره [۱۷]. | ۱۳۵ |
| شکل (۱۲-۷): یک مسیر بسته اطراف یک سیم [۱۷]. | ۱۳۵ |
| شکل (۱۳-۷): مش با ΔI متغیر [۱۷]. | ۱۳۸ |
| شکل (۱۴-۷): مدار جهت محاسبه مولفه X میدان مغناطیسی در یک گره با شاخه [۱۷]. | ۱۴۳ |
| شکل (۱۵-۷): محاسبه تلفات مغناطیسی [۱۷]. | ۱۴۶ |

فهرست جدول‌ها

| عنوان | | صفحه |
|---|-----|------|
| جدول (۱-۳) : دسته بندی محیط‌های BI [۱۰] | ۱۸ | |
| جدول (۱-۵) : معادلات اساسی میدان‌های الکترومغناطیسی [۲۶] | ۶۷ | |
| جدول (۳-۵) : مقایسه کمیت‌های معادل [۲۶] | ۷۶ | |
| جدول (۴-۵) : معادلات دیفرانسیل در شبکه TLM [۲۶] | ۷۷ | |
| جدول (۱-۶) : میزان چرخش زاویه میان میدانهای E_y و E_x | ۹۲ | |
| جدول (۲-۶) : مقایسه مقدار مد غالب در موجبرهای قسمتی پر | ۹۸ | |
| جدول (۳-۶) : کوپلینگ 3dB در کوپلر BI | ۱۰۶ | |
| جدول (۴-۶) : کوپلینگ 3dB در کوپلر BI | ۱۰۶ | |
| جدول (۵-۶) : کوپلینگ 3dB در کوپلر ایزوتروپیک | ۱۰۶ | |

فصل اول

مقدمہ

۱-۱ مقدمه

یکی از مسائل مهمی که همواره مورد توجه محققین قرار داشته است مطالعه محیط‌های دی‌الکتریک و بررسی خواص انتشاری موج در آنها است. یکی از مهمترین دسته از محیط‌های دی‌الکتریک، محیط‌های Bi-isotropic (BI)، می‌باشد که در سال‌های اخیر مورد توجه بسیاری از محققین قرار گرفته است. در محیط‌های biisotropic که خود شامل دو محیط تلگان و دستگردان می‌شوند، میدان‌های الکتریکی و مغناطیسی به یکدیگر کوپل شده‌اند. به عبارت دیگر با بوجود آمدن میدان الکتریکی، میدان مغناطیسی نیز بوجود می‌آید و بالعکس. در واقع وقتی چنین محیط‌هایی در معرض میدان الکتریکی و یا مغناطیسی قرار بگیرند، هم پلاریزه و هم مغناطیسی می‌شوند. این اثر، کوپلینگ الکترومغناطیسی نام دارد. کوپلینگ الکترومغناطیسی، سبب پیچیده شدن روابط در این محیط‌ها و ایجاد خواص مختلفی می‌شود. بررسی و آنالیز انتشار موج در چنین موادی، در سال‌های اخیر مورد توجه محققین قرار گرفته است.

در این پایان نامه، هدف، مدل سازی انتشار موج در محیط‌های دستگردان و BI با روش TLM است. روش TLM (Transmission Line Matrix Method) یک روش عددی در حوزه زمان است که از مزایای زیر برخوردار است:

۱- این روش یک روش بسیار قوی در حوزه زمان است و می‌توان محیط‌های dispersive، غیر ایزوتروپیک و ناهمگن را با اضافه کردن المان‌های جدید به مدل حالت کلاسیک آن مدل نمود.

۲- از دقت بسیار خوبی برخوردار است.

۳- کلیه میدان‌ها را همزمان در یک نقطه از مکان و زمان محاسبه می‌کند.

همانگونه که در قسمت‌های بعدی پایان‌نامه مشهود است، ابتدا روش TLM را به صورت کامل مورد بررسی قرار می‌دهیم. اساس این روش بر مقایسه میان معادلات ولتاژ و جریان خط و معادلات ماکسول استوار است. با انجام این مقایسه ارتباط میان کمیت‌های میدان الکتریکی و مغناطیسی و ولتاژ و جریان خطوط انتقال بدست می‌آید. بر این اساس یک مدل کلاسیک در این روش بدست می‌آید. حال اگر با یک محیط با پارامترهایی اضافه بر پارامترهای رایج یک محیط دی‌الکتریک یعنی ϵ و μ مواجه شویم، نیاز به المان‌های جدیدی مثل منابع ولتاژ و ... می‌باشد که بایستی به هر گره اضافه گردد.

محیط‌های BI همانگونه که در قسمت‌های بعدی به صورت دقیق‌تر اشاره خواهد شد، شامل دو پارامتر تلگان و دستگردانی (Chirality)، می‌باشد. لذا با استی المان جدیدی جهت مدل کردن این دو پارامتر به مدل اضافه نمود. در ادامه نشان داده می‌شود که این المان جدید به صورت منبع ولتاژ است که به هر گره اضافه خواهد شد.

پس از تکمیل مدل‌هر گره و مدل‌سازی محیط و مشخص نمون الگوریتم، ساختارهای مختلفی را گره‌بندی و مورد بررسی قرار می‌دهیم. ابتدا جهت بررسی صحت الگوریتم و برنامه نوشته شده، چند ساختار معلوم را مورد ارزیابی قرار داده و پس از اطمینان از درستی برنامه، به بررسی خواص انتشاری موج در محیط‌های BI می‌پردازیم.

۲-۱ کلیات

از آنجایی که تنها تعداد محدودی از مسائل الکترومغناطیسی را می‌توان با روش‌های تحلیلی و دقیق حل نمود، روش‌های عددی اهمیت بسیار زیادی در حل مسائل الکترومغناطیسی دارند. در فصل دوم به صورت بسیار مختصر به انواع روش‌های عددی اشاره می‌شود. در فصل سوم محیط‌های دستگردان و خواص آنها مورد بررسی قرار می‌گیرد. در فصل چهارم در مورد روش عددی TLM دو بعدی مفصلأً بحث می‌شود. با توجه به اینکه خاصیت دستگردانی منجر به تغییر معادلات میدان‌های الکترومغناطیسی می‌گردد، مدل سازی به روش TLM دیگر به سبک کلاسیک آن قابل پیاده سازی نیست و با استی المان‌های جدید به هر گره اضافه شود. در فصل پنجم، مدل سازی برای شبیه سازی انتشار موج در محیط‌های دستگردان مورد بررسی قرار می‌گیرد. در فصل ششم نتایج پیاده سازی ساختارهای مختلف با مدل TLM آورده شده و سرانجام نتیجه‌گیری و پیشنهادات آرائه می‌گردد.

فصل دوم

معرفی روش های عددی در الکترومغناطیس

از آنجایی که تنها تعداد محدودی از مسائل الکترومغناطیس را می‌توان به روش تحلیلی حل کرد، روش‌های عددی اهمیت بسیار زیادی در حل مسائل الکترومغناطیس دارند. خوبی‌خانه با پیشرفت علوم کامپیوتر و برنامه‌نویسی این روش‌ها را می‌توان با دقت بالایی به کار گرفت. هنگامی که می‌خواهیم یک ساختار مشخص را تحلیل کنیم، بایستی روش مناسبی که بهترین روش برای تحلیل آن ساختار است، انتخاب کنیم. البته مشخص است که این انتخاب یکتا نخواهد بود و بستگی به فاکتورهای مختلفی مانند میزان حجم حافظه، زمان پردازش و ... دارد. در این فصل به صورت بسیار مختصر، برخی روش‌های عددی که کاربرد بیشتری دارند، معرفی می‌گردد.

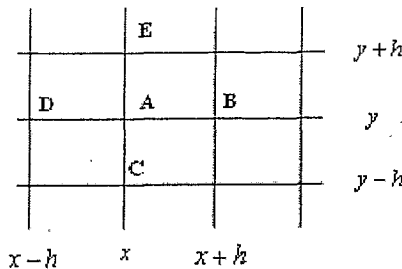
۲-۲ روش تفاضل محدود (Finite Difference Method)

روش تفاضل محدود [۱]، در این فصل با معرفی معادله لاپلاس دو بعدی بیان می‌گردد. روش FD یک روش عددی بسیار پرکاربرد است که در بیشتر مدل سازی‌ها از آن استفاده می‌شود. معادله لاپلاس دو بعدی زیر را در نظر بگیرید:

$$\frac{\partial^2 \phi}{\partial x^2} + \frac{\partial^2 \phi}{\partial y^2} = 0 \quad (1-2)$$

بسط حالت دو بعدی به سه بعدی به صورت مشخص امکان پذیر است. در این روش، مکان به مشاهی مشخصی که به فاصله h از یکدیگر قرار دارند، تقسیم می‌گردد. به جای حل مستقیم معادله (۱-۲)، از بسط تیلور استفاده می‌گردد. اگر مبدأ در نقطه A در شکل (۱-۲) قرار داشته باشد، پتانسیل ϕ_B ، ϕ_C ، ϕ_D و ϕ_E در نقاط B ، C ، D و E به صورت زیر بیان می‌گردد:

$$\begin{aligned} \phi_B &= \phi_A + h \left(\frac{\partial \phi}{\partial x} \right)_A + \frac{h^2}{2!} \left(\frac{\partial^2 \phi}{\partial x^2} \right)_A + \frac{h^3}{3!} \left(\frac{\partial^3 \phi}{\partial x^3} \right)_A + o(h^4) \\ \phi_E &= \phi_A + h \left(\frac{\partial \phi}{\partial y} \right)_A + \frac{h^2}{2!} \left(\frac{\partial^2 \phi}{\partial y^2} \right)_A + \frac{h^3}{3!} \left(\frac{\partial^3 \phi}{\partial y^3} \right)_A + o(h^4) \\ \phi_D &= \phi_A - h \left(\frac{\partial \phi}{\partial x} \right)_A + \frac{h^2}{2!} \left(\frac{\partial^2 \phi}{\partial x^2} \right)_A - \frac{h^3}{3!} \left(\frac{\partial^3 \phi}{\partial x^3} \right)_A + o(h^4) \\ \phi_C &= \phi_A - h \left(\frac{\partial \phi}{\partial y} \right)_A + \frac{h^2}{2!} \left(\frac{\partial^2 \phi}{\partial y^2} \right)_A - \frac{h^3}{3!} \left(\frac{\partial^3 \phi}{\partial y^3} \right)_A + o(h^4) \end{aligned} \quad (2-2)$$



شکل (۱-۲) : یک مش نوعی برای روش FD دو بعدی [۱].

ترم $O(h^4)$ نشان دهنده باقی مانده ترم ها در بسط سری تیلور است. با جمع معادلات فوق با یکدیگر خواهیم داشت:

$$\phi_B + \phi_C + \phi_D + \phi_E = 4\phi_A + h^2 \left(\frac{\partial^2 \phi}{\partial x^2} + \frac{\partial^2 \phi}{\partial y^2} \right)_A + O(h^4) \quad (3-2)$$

اگر ϕ جواب معادله لاپلاس (۱-۲) باشد، ترم داخل پرانتز در معادله ، صفر می شود و لذا خواهیم داشت:

$$\phi_A = \frac{1}{4}(\phi_B + \phi_C + \phi_D + \phi_E) \quad (4-2)$$

در معادله فوق از ترم $O(h^4)$ به دلیل کوچکی زیاد و قابل توجه نبودن، صرفنظر شده است . اگر نقطه A روی مرز میان دو محیط قرار داشته باشد، از معادلات متفاوتی بایستی استفاده کرد.
روش فوق برای هر نقطه دنبال می شود و یک معادله ماتریسی به فرم زیر بدست می آید:

$$M\phi = \bar{B} \quad (5-2)$$

اطلاعات ماتریس B از نقاط مرزی بدست می آید و M ماتریس ضرایب است. این روش به محاسبات ریاضی پیچیده ای نیاز ندارد و برای دسته وسیعی از ساختارها قابل استفاده است، اما هنگامی که برای مسائل با ناحیه باز به کار می رود، مشکلات خاص خود را دارد.

۳-۲ روش المان محدود (Finite Element Method)

این روش، شبیه روش تفاضل محدود است اما انعطاف پذیری بیشتری نسبت به روش FD دارد [۲،۳]. در این روش، ناحیه مورد نظر، به نواحی کوچکتری تقسیم می شود که به شکل چند ضلعی می باشند، این نواحی در حالت دو بعدی می توانند مستطیل یا مثلث باشند و در شرایط سه